

**Дорофеев В.С., д.т.н., проф., Ковров А.В. к.т.н., доц., Ковтуненко А.В.,
Высочан Н.К.** (Одесская государственная академия строительства и
архитектуры г. Одесса, Украина)

К ПОСТРОЕНИЮ ЛИНЕАРИЗИРОВАННЫХ ДИАГРАММ ДЕФОРМИРОВАНИЯ ИЗГИБАЕМЫХ ЖЕЛЕЗОБЕТОННЫХ ЭЛЕМЕНТОВ

Даны предложения к построению линеаризированных диаграмм на основе принятой авторами деформационной модели работы сечений изгибаемых железобетонных элементов.

Ключевые слова: железобетонный изгибаемый элемент, деформирование, изгибающий момент, кривизна.

Постановка проблемы. Работы [1], [2], [3], [5], [6] посвящены изучению напряженно-деформированного состояния железобетонных изгибаемых элементов, проводимому под руководством А.Н.Бамбуры, Л.Р.Маиляна, В.С.Дорофеева, Е.М.Бабича, которые основывались на реальных диаграммах деформирования материалов.

В работах [4], [7] предложен практический способ построения диаграмм «изгибающий момент – кривизна», основанный на предложениях И.Е.Прокоповича.

Для более полного учета процессов, происходящих в статически неопределимых железобетонных конструкциях при изменении нагрузок вплоть до разрушения, необходимо использование диаграмм «изгибающий момент – кривизна» наиболее полно учитывающих работу материалов и имеющих возможность применения в практических расчетах.

Целью работы является выработка принципов построения линеаризированных диаграмм «изгибающий момент – кривизна», основанных на деформационной модели работы нормальных сечений изгибаемых железобетонных элементов для использования в практических расчетах статически неопределимых систем.

Основная часть. Авторами для создания модели деформирования изгибающих железобетонных элементов были приняты следующие предпосылки:

1. Считается справедливой гипотеза Бернулли (гипотеза плоских сечений) – деформации по высоте сечения изменяются по линейному закону.
2. Между арматурой и окружающим ее бетоном существует сцепление,

такое, что деформации в арматуре и бетоне равны между собой.

3. Зависимость «напряжения – деформации» при сжатии бетона описывается, в соответствии с предложениями А.Н.Бамбуры [2].

Связь между напряжениями и деформациями при растяжении бетона описывается при помощи диаграммы Прандтля.

Взаимосвязь между напряжениями и деформациями при растяжении и сжатии арматуры описывается при помощи диаграммы Прандтля.

4. Сопротивление расчетного сечения считается исчерпанным при достижении деформациями крайнего сжатого волокна бетона или растянутой арматуры предельных значений, соответственно ϵ_{bu} и ϵ_{su} .

Задача определения напряженно-деформированного состояния в поперечном сечении изгибаемого железобетонного элемента на всех стадиях решена при помощи шагово-итерационной методики [8].

Авторами предложен алгоритм и разработана в системе компьютерной математики MATLAB программа определения напряженно-деформированного состояния нормальных прямоугольных сечений железобетонных изгибаемых элементов вплоть до предельного состояния с построением диаграммы «изгибающий момент – кривизна».

Сравнение экспериментально полученных и теоретически построенных по предлагаемой методике диаграмм показало высокую сходимость.

При построении линеаризованных диаграмм «изгибающий момент – кривизна» работы сечений железобетонных изгибаемых элементов значения изгибающих моментов и соответствующих им кривизн в характерных точках определяются из уравнений равновесия, приведенных ниже:

$$\sum X = 0; \quad N_b + N_{sc} - N_{bt} - N_s = 0; \quad (1)$$

$$\sum m_o = 0; \quad M_b + M_{sc} + M_{bt} + M_s = M. \quad (2)$$

Проведенные исследования свидетельствуют о том, что для железобетонных балок, имеющих различное армирование, порядок построения линеаризованных диаграмм отличается.

Для сечений слабо армированных железобетонных изгибаемых элементов диаграмма «изгибающий момент – кривизна» имеет вид, представленный на рис. 1.

Для определения значений изгибающего момента и кривизны, соответствующих точке А, на первом этапе определяем высоту сжатой зоны бетона, задаваясь деформацией крайнего растянутого волокна бетона $\epsilon_{bt} = \epsilon_{btu}$, предшествующей образованию трещины. Деформации крайнего сжатого волокна бетона, растянутой и сжатой арматуры, выраженные через деформацию крайнего растянутого волокна бетона, подставляем в уравнение (1).

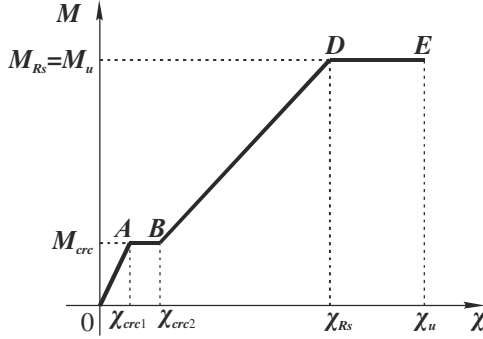


Рис. 1. Диаграмма «изгибающий момент – кривизна» работы сечений слабо армированных железобетонных изгибаемых элементов

После преобразований получим:

$$F_1 x_b^6 + F_2 x_b^5 + F_3 x_b^4 + F_4 x_b^3 + F_5 x_b^2 + F_6 x_b + F_7 = 0 \quad (3)$$

где:

$$\begin{aligned}
 F_1 &= R_b b \varepsilon_{btu}^2 (30a_1 \varepsilon_{bR}^4 - 20a_2 \varepsilon_{btu} \varepsilon_{bR}^3 + 15a_3 \varepsilon_{btu}^2 \varepsilon_{bR}^2 - 12a_4 \varepsilon_{btu}^3 \varepsilon_{bR} + \\
 &\quad + 10a_5 \varepsilon_{btu}^4) - 30R_{bt} b \varepsilon_{bR}^5 (2\varepsilon_{btu} - \varepsilon_{btR}); \\
 F_2 &= -6R_b b h \varepsilon_{btu}^2 \varepsilon_{bR} (20a_1 \varepsilon_{bR}^3 - 10a_2 \varepsilon_{btu} \varepsilon_{bR}^2 + 5a_3 \varepsilon_{btu}^2 \varepsilon_{bR} - 2a_4 \varepsilon_{btu}^3) + \\
 &\quad + 60E_s \varepsilon_{stu}^2 \varepsilon_{bR}^5 (A'_s + A_s) + 180R_{bt} b h \varepsilon_{bR}^5 (2\varepsilon_{btu} - \varepsilon_{btR}); \\
 F_3 &= 15R_b b h^2 \varepsilon_{btu}^2 \varepsilon_{bR}^2 (12a_1 \varepsilon_{bR}^3 - 4a_2 \varepsilon_{btu} \varepsilon_{bR} + a_3 \varepsilon_{btu}^2) - 60E_s \varepsilon_{btu}^2 \varepsilon_{bR}^5 \times \\
 &\quad \times [4h(A'_s + A'_s) + A'_s a' + A_s h_0] - 450R_{bt} b \varepsilon_{bR}^5 h^2 (2\varepsilon_{btu} - \varepsilon_{btR}); \\
 F_4 &= -20R_b b h^3 \varepsilon_{btu}^2 \varepsilon_{bR}^3 (6a_1 \varepsilon_{bR} - a_2 \varepsilon_{btu}) + 120E_s \varepsilon_{btu}^2 \varepsilon_{bR}^5 h \times \\
 &\quad \times [3h(A'_s + A) + 2(A'_s a' + A_s h_0)] + 600R_{bt} b h^3 \varepsilon_{bR}^5 (2\varepsilon_{btu} - \varepsilon_{btR}); \\
 F_5 &= 30R_b b h^4 \varepsilon_{btu} \varepsilon_{bR}^4 a_1 - 120E_s \varepsilon_{btu}^2 \varepsilon_{bR}^5 h^2 [2h(A'_s + A_s) + \\
 &\quad + 3(A'_s a' + A_s h_0)] - 450R_{bt} b \varepsilon_{bR}^5 h^4 (2\varepsilon_{btu} - \varepsilon_{btR}); \\
 F_6 &= 60E_s \varepsilon_{bR}^5 \varepsilon_{btu}^2 h^3 [h(A'_s + A_s) + 4(A'_s a' + A_s h_0)] + \\
 &\quad + 180R_{bt} b \varepsilon_{bR}^5 h^5 (2\varepsilon_{btu} - \varepsilon_{btR}); \\
 F_7 &= -60E_s \varepsilon_{bR}^5 \varepsilon_{btu}^2 h^4 (A'_s a' + A_s h_0) - 30R_{bt} b \varepsilon_{bR}^5 h^6 (2\varepsilon_{btu} - \varepsilon_{btR}).
 \end{aligned}$$

Для определения значения изгибающего момента значения деформаций и высоты сжатой зоны бетона подставляем в уравнение (2). Значение кривизны, соответствующей точке *A* определяем исходя из гипотезы плоских сечений при известных значениях деформаций крайнего растянутого, крайнего сжатого волокна бетона и высоты сечения.

Значения изгибающих моментов, соответствующие точкам *A* и *B*, равны между собой. Для определения значения кривизны, соответствующего точке *B* деформации растянутой и сжатой арматуры, выраженные через деформации крайнего сжатого волокна бетона и высоту сжатой зоны бетона x_b , подставляем в уравнения (1) и (2). После преобразований получим систему уравнений:

$$\begin{cases} F_{1,1}\epsilon_b^6 x_b^2 + F_{1,2}\epsilon_b^5 x_b^2 + F_{1,3}\epsilon_b^4 x_b^2 + F_{1,4}\epsilon_b^3 x_b^2 + F_{1,5}\epsilon_b^2 x_b^2 + \\ + F_{1,6}\epsilon_b^2 x_b + F_{1,7}\epsilon_b^2 + F_{1,8}x_b^2 = 0; \\ F_{2,1}\epsilon_b^7 x_b^3 + F_{2,2}\epsilon_b^6 x_b^3 + F_{2,3}\epsilon_b^5 x_b^3 + F_{2,4}\epsilon_b^4 x_b^3 + F_{2,5}\epsilon_b^3 x_b^3 + \\ + F_{2,6}\epsilon_b^3 x_b^2 + F_{2,7}\epsilon_b^3 x_b + F_{2,8}\epsilon_b^3 + F_{2,9}\epsilon_b^2 x_b + F_{2,10}x_b^3 = 0; \end{cases} \quad (4)$$

где:

$$\begin{aligned} F_{1,1} &= 10R_b b a_5; & F_{2,2} &= 70R_b b a_4 \epsilon_{bR}; \\ F_{1,2} &= 12R_b b a_4 \epsilon_{bR}; & F_{2,3} &= 84R_b b a_3 \epsilon_{bR}^2; \\ F_{1,3} &= 15R_b b a_3 \epsilon_{bR}^2; & F_{2,4} &= 105R_b b a_2 \epsilon_{bR}^3; \\ F_{1,4} &= 20R_b b a_2 \epsilon_{bR}^3; & F_{2,5} &= 140R_b b a_1 \epsilon_{bR}^4; \\ F_{1,5} &= 30R_b b a_1 \epsilon_{bR}^4; & F_{2,6} &= 420E_s \epsilon_{bR}^5 (A'_s + A_s); \\ F_{1,6} &= 60E_s \epsilon_{bR}^5 (A'_s + A_s); & F_{2,7} &= -840E_s \epsilon_{bR}^5 (A'_s a' + A_s h_0); \\ F_{1,7} &= -60E_s \epsilon_{bR}^5 (A'_s a' + A_s h_0); & F_{2,8} &= 420E_s \epsilon_{bR}^5 (A'_s + a'^2 + A_s h_0^2); \\ F_{1,8} &= -30R_{bt} b E_s \epsilon_{bR}^5 (2\epsilon_{btu} - \epsilon_{btR}); & F_{2,9} &= -420M_{crc} \epsilon_{bR}^5; \\ F_{2,1} &= 60R_b b a_5; & F_{2,10} &= 70R_{bt} b \epsilon_{bR}^5 (3\epsilon_{btu}^2 - \epsilon_{btR}^2). \end{aligned}$$

Значения кривизны, соответствующие точкам диаграммы деформирования после образования трещины, определяем исходя из гипотезы плоских сечений при известных значениях деформаций крайнего сжатого волокна бетона, растянутой арматуры и рабочей высоты сечения.

Значения изгибающих моментов и кривизн, соответствующих точкам *A* и *B*, для сечений нормально и сильно армированных железобетонных изгибаемых элементов определяются аналогично.

Для определения значений изгибающего момента и кривизны, соответствующих точке D , на первом этапе определяем высоту сжатой зоны бетона, задаваясь деформацией растянутой арматуры $\varepsilon_{st} = \varepsilon_{sR}$. Деформации крайнего сжатого волокна бетона и сжатой арматуры, выраженные через деформацию растянутой арматуры, подставляем в уравнение (1). После преобразований получим уравнение, совпадающее с уравнением (3), коэффициенты которого вычисляются по следующим формулам:

$$\begin{aligned}
 F_1 &= R_b b \varepsilon_{sR}^2 (30a_1 \varepsilon_{bR}^4 - 20a_2 \varepsilon_{bR}^3 \varepsilon_{sR} + 15a_3 \varepsilon_{bR}^2 \varepsilon_{sR}^2 - \\
 &\quad - 12a_4 \varepsilon_{bR} \varepsilon_{sR}^3 + 10a_5 \varepsilon_{sR}^4) - 30R_{bt} b \varepsilon_{bR}^5 (2\varepsilon_{btu} - \varepsilon_{btR}); \\
 F_2 &= -6R_b b \varepsilon_{sR}^2 \varepsilon_{bR} h_0 (20a_1 \varepsilon_{bR}^3 - 10a_2 \varepsilon_{bR}^2 \varepsilon_{sR} + 5a_3 \varepsilon_{bR} \varepsilon_{sR}^2 - 2a_4 \varepsilon_{sR}^3) + \\
 &\quad + 60\varepsilon_{bR}^5 \varepsilon_{sR} (A'_s E_s \varepsilon_{sR} + A_s R_s) + 180R_{bt} b h_0 \varepsilon_{bR}^5 (2\varepsilon_{btu} - \varepsilon_{btR}); \\
 F_3 &= 15R_b b \varepsilon_{sR}^2 \varepsilon_{bR} h_0^2 (12a_1 \varepsilon_{bR}^3 - 4a_2 \varepsilon_{sR} \varepsilon_{bR} + a_3 \varepsilon_{bR}^2) - 450R_{bt} b \varepsilon_{bR}^5 h_0^2 \times \\
 &\quad \times (2\varepsilon_{btu} - \varepsilon_{btR}) - 60\varepsilon_{bR}^5 \varepsilon_{sR} [A'_s E_s \varepsilon_{sR} (4h_0 + a') + 5A_s R_s h_0]; \\
 F_4 &= -20R_b b \varepsilon_{bR}^3 \varepsilon_{sR}^2 h_0^3 (6a_1 \varepsilon_{bR} - a_2 \varepsilon_{sR}) + 600R_{bt} b \varepsilon_{bR}^5 h_0^3 (2\varepsilon_{btu} - \varepsilon_{btR}) + \\
 &\quad + 120\varepsilon_{bR}^5 \varepsilon_{sR} h_0 \times [A'_s E_s \varepsilon_{sR} (3h_0 + 2a') + 5A'_s R_s h_0]; \\
 F_5 &= 30R_b b a_1 \varepsilon_{bR}^4 \varepsilon_{sR}^2 h_0^4 - 450R_{bt} b \varepsilon_{bR}^5 h_0^4 (2\varepsilon_{btu} - \varepsilon_{btR}) - 120\varepsilon_{bR}^5 \varepsilon_{sR} h_0^2 \times \\
 &\quad \times [A'_s E_s \varepsilon_{sR} (2h_0 + 3a') + 5A_s R_s h_0]; \\
 F_6 &= 180R_{bt} b \varepsilon_{bR}^5 h_0^5 (2\varepsilon_{btu} - \varepsilon_{btR}) + 60\varepsilon_{bR}^5 \varepsilon_{sR}^2 h_0^3 \times \\
 &\quad \times [A'_s E_s \varepsilon_{sR} (h_0 + 4a') + 5A_s R_s h_0]; \\
 F_7 &= -30R_{bt} b \varepsilon_{bR}^5 h_0^6 (2\varepsilon_{btu} - \varepsilon_{btR}) - 60\varepsilon_{bR}^5 \varepsilon_{sR} h_0^4 (A'_s E_s \varepsilon_{sR} a' + A_s R_s h_0).
 \end{aligned}$$

Значения изгибающего момента и кривизны, соответствующие точке E , определяются аналогично значениям, соответствующим точке D , с заменой деформаций $\varepsilon_{st} = \varepsilon_{sR}$ на деформации $\varepsilon_{st} = \varepsilon_{su}$.

Значения изгибающих моментов и кривизн, соответствующих точкам D и E , для сечений нормально армированных железобетонных изгибаемых элементов определяются аналогично.

Для сечений нормально армированных железобетонных изгибаемых элементов диаграмма «изгибающий момент – кривизна» имеет вид, представленный на рис. 2.

Для определения значений изгибающего момента и кривизны, соответствующих точке C , на первом этапе определяем высоту сжатой зоны бетона, задаваясь деформацией крайнего сжатого волокна бетона $\varepsilon_b = \varepsilon_{bR}$.

Деформации растянутой и сжатой арматуры, выраженные через деформацию крайнего сжатого волокна бетона, подставляем в уравнение (1).

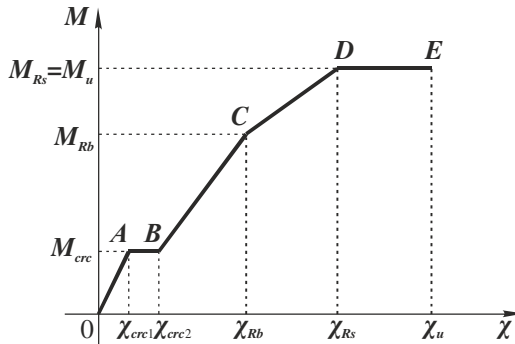


Рис. 2. Диаграмма «изгибающий момент – кривизна» работы сечений нормально армированных железобетонных изгибаемых элементов

После преобразований получим уравнение, имеющее вид:

$$F_1 x_b^6 + F_2 x_b + F_3 = 0, \quad (5)$$

где:

$$F_1 = R_b b \varepsilon_{bR} (30a_1 + 20a_2 + 15a_3 + 12a_4 + 10a_5) - 30R_{bt} b (2\varepsilon_{btu} - \varepsilon_{btR});$$

$$F_2 = 60E_s \varepsilon_{bR}^2 (A'_s + A_s);$$

$$F_3 = -60E_s \varepsilon_{bR}^2 (A'_s a' + A_s h_0).$$

Значения изгибающего моментов и кривизны, соответствующих точке *C*, для сечений сильно армированных железобетонных изгибаемых элементов определяются аналогично.

Для сечений сильно армированных железобетонных изгибаемых элементов диаграмма «изгибающий момент – кривизна» имеет вид, представленный на рис. 3.

При определении значений изгибающего момента и кривизны, соответствующих точке *F*, для нахождения искомым величин двух уравнений равновесия недостаточно. Задаваясь условием экстремальности изгибающего момента, получаем дополнительное уравнение, используя условие:

$$\frac{dM}{d\varepsilon_b} = 0 \quad (6)$$

Деформации растянутой и сжатой арматуры, выраженные через деформацию крайнего сжатого волокна бетона и высоты сжатой зоны бетона, подставляются в уравнения (1) и (6).

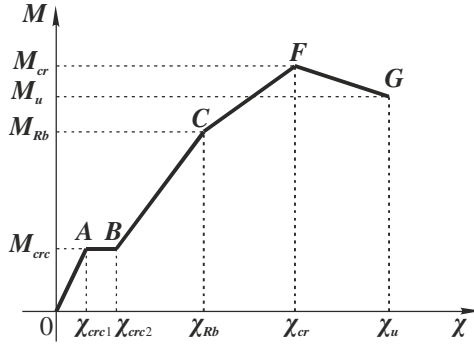


Рис. 3. Диаграмма «изгибающий момент – кривизна» работы сечений сильно армированных железобетонных изгибаемых элементов

После преобразований получим систему уравнений:

$$\begin{cases} F_{1,1}\epsilon_b^6 x_b^2 + F_{1,2}\epsilon_b^5 x_b^2 + F_{1,3}\epsilon_b^4 x_b^2 + F_{1,4}\epsilon_b^3 x_b^2 + F_{1,5}\epsilon_b^2 x_b^2 + \\ + F_{1,6}\epsilon_b^2 x_b + F_{1,7}\epsilon_b^2 + F_{1,8}\epsilon_b x_b + F_{1,9}x_b^2 = 0; \\ F_{2,1}\epsilon_b^7 x_b^3 + F_{2,2}\epsilon_b^6 x_b^3 + F_{2,3}\epsilon_b^5 x_b^3 + F_{2,4}\epsilon_b^4 x_b^3 + F_{2,5}\epsilon_b^3 x_b^3 + \\ F_{2,6}\epsilon_b^3 x_b^2 + F_{2,7}\epsilon_b^3 x_b + F_{2,8}\epsilon_b^3 + F_{2,9}x_b^3 = 0; \end{cases} \quad (7)$$

где:

$$F_{1,1} = 10R_b b a_5;$$

$$F_{2,1} = 150R_b b a_5;$$

$$F_{1,2} = 12R_b b a_4 \epsilon_{bR};$$

$$F_{2,2} = 140R_b b a_4 \epsilon_{bR};$$

$$F_{1,3} = 15R_b b a_3 \epsilon_{bR}^2;$$

$$F_{2,3} = 124R_b b a_3 \epsilon_{bR}^2;$$

$$F_{1,4} = 20R_b b a_2 \epsilon_{bR}^3;$$

$$F_{2,4} = 105R_b b a_2 \epsilon_{bR}^3;$$

$$F_{1,5} = 30R_b b a_1 \epsilon_{bR}^4;$$

$$F_{2,5} = 70R_b b a_1 \epsilon_{bR}^4;$$

$$F_{1,6} = 60A_s E_s \epsilon_{bR}^5;$$

$$F_{2,6} = 210A_s E_s \epsilon_{bR}^5;$$

$$F_{1,7} = -60A_s E_s \epsilon_{bR}^5 h_0;$$

$$F_{2,7} = -420A_s E_s \epsilon_{bR}^5 h_0;$$

$$F_{1,8} = -60A'_s R_s \epsilon_{bR}^5;$$

$$F_{2,8} = 210A_s E_s \epsilon_{bR}^5 h_0^2;$$

$$F_{1,9} = -30R_{bt} b \epsilon_{bR}^5 (2\epsilon_{btu} - \epsilon_{btR});$$

$$F_{2,9} = -70R_{bt} b \epsilon_{bR}^5 (3\epsilon_{btu}^2 - \epsilon_{btR}^2);$$

Для определения значений изгибающего момента и кривизны, соответствующих точке *G* на первом этапе определяем высоту сжатой зоны бетона, задаваясь деформацией крайнего сжатого волокна бетона $\epsilon_b = \epsilon_{bu}$,

предшествующей разрушению элемента. Деформации растянутой и сжатой арматуры, выраженные через деформацию крайнего сжатого волокна бетона, подставляем в уравнение (1). После преобразований получим уравнение, совпадающее с уравнением (5), коэффициенты которого вычисляются по следующим формулам:

$$F_1 = R_s b \epsilon_{bu}^2 (30a_1 \epsilon_{bR}^4 + 20a_2 \epsilon_{bR}^3 \epsilon_{bu} + 15a_3 \epsilon_{bR}^2 \epsilon_{bu}^2 + \\ + 12a_4 \epsilon_{bR} \epsilon_{bu}^3 + 10a_5 \epsilon_{bu}^4) - 30R_{bt} b \epsilon_{bR}^5 (2\epsilon_{btu} - \epsilon_{bR}); \\ F_2 = 60\epsilon_{bR}^5 \epsilon_{bu} (A'_s R_s + A_s E_s \epsilon_{bu}); \\ F_3 = -60A_s E_s \epsilon_{bR}^5 \epsilon_{bu}^5 h_0.$$

Выводы

1. Предложены принципы построения линеаризованных диаграмм, основанных на деформационной модели работы нормальных сечений изгибаемых железобетонных элементов для использования в практических расчетах статически неопределимых систем.

2. Предложены уравнения и системы уравнений для определения значений кривизны и изгибающих моментов в характерных точках диаграмм «изгибающий момент – кривизна» для железобетонных сечений изгибаемых элементов при различном армировании.

1. Бабич В.С. Напружено-деформований стан і міцність нерозрізних залізобетонних балок при одноразових та повторних навантаженнях: Дис. ... канд. техн. наук. – Рівне, 2005. – 176 с.
2. Бамбура А.М. Експериментальні основи прикладної деформаційної теорії залізобетону: Дис. ... докт. техн. наук. – Київ, 2005. – 379 с.
3. Дорофеев В.С., Барданов В.Ю. Расчет изгибаемых элементов с учетом полной диаграммы деформирования бетона. Монография. – Одесса: Издательство ОГАСА, 2003. – 210 с.
4. Ковров А.В. К анализу закономерностей деформирования сечений неразрезных железобетонных балок / А.В.Ковров, Р.Э.Чайковский, Т.А. Синюкина // Вісник ОДАБА. – Одесса, 2007. – № 27. – С.178-183.
5. Маилян Л.Р. Расчет статически неопределимых стержневых железобетонных систем: Учебное пособие. – Ростов н/Д: Рост. инж.-строит. ин-т, 1988. – 91 с.
6. Маилян Л.Р. Сопротивление железобетонных статически неопределимых балок силовым воздействиям. – Ростов-на-Дону: Издательство Ростовского университета, 1989. – 176 с.
7. Яременко А.Ф. О практическом способе определения жесткости железобетонных балок / А.Ф.Яременко, А.В.Ковров, Т.А.Синюкина // Вісник ОДАБА. – Одесса, 2005. – № 20. – С.389-394.
8. Модель деформирования изгибаемых железобетонных элементов / В.С.Дорофеев, А.В.Ковров, Р.Э.Чайковский, А.В.Ковтуненко, Т.А.Максимова // Будівельні конструкції: Міжвідомчий науково-технічний збірник наукових праць (будівництво). – Київ, ДП НДІБК, 2011 – Вип.74 кн.1. – С.336-343.